

## RÉGION DE LA GORGE PROSPER

### TERRITOIRE DE LA BAIE JAMES

Géologie par: A. FRANCONI, 1979

Échelle 1:50 000



#### ROCHES INTRUSIVES POST-OROGÉNIQUES (14)

14 Diabases

#### ROCHES GRANITOÏDES (11-13)

- 13 Granites; pegmatites
- 12c Monzodiorites quartzifères porphyroblastiques
- 12b Monzodiorites quartzifères mélanocrates
- 12a Monzodiorites quartzifères mésocrates
- 11c Faciès hétérogène indéterminé
- 11b Gneiss tonalitique
- 11a Tonalites-granodiorites

#### ROCHES INTRUSIVES BASIQUES-ULTRABASIQUES (10)

- 10b Métaproxénites; métapériodites
- 10a Métagabbros foliés

#### ROCHES MÉTASÉDIMENTAIRES (3-9)

- 9 Gneiss de la gorge Prosper
- 8a Formation de fer
- 7a Paragneiss à orthopyroxène
- 6c Gneiss à amphibole; amphibolites intercalées dans les paragneiss
- 6b Paragneiss à amphibole et biotite
- 6a Paragneiss à biotite et amphibole
- 5b Paragneiss leucocrate à biotite
- 5a Paragneiss mésocrate à biotite
- 4a Paragneiss à cordiérite
- 3c Paragneiss à sillimanite + cordiérite
- 3b Paragneiss à sillimanite + andalousite
- 3a Paragneiss à sillimanite

#### MÉTAVOLCANITES (1-2)

- 2b Tufs felsiques
- 2a Agglomérats
- 1d Amphibolites mélanocrates
- 1c Amphibolites mésocrates rubanées
- 1b Amphibolites mésocrates hétérogènes
- 1a Amphibolites mésocrates homogènes

#### SYMBÔLES

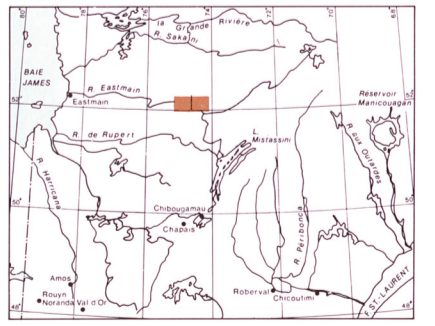
- x Affleurements
- Contour géologique
- Direction et pendage du litage (S<sub>l</sub>)
- Direction et pendage de la foliation (S<sub>f</sub>)
- Direction et plongement de linéations minérales et microcorrugations
- Direction et plongement des axes de micropis
- Trace du plan axial des antiformes
- Trace du plan axial des synformes
- Failles
- Linéaments structuraux (photo-interprétation)
- Py Pyrite
- Ar Arsénopyrite
- Be Béryl
- PrM Protométatexite
- Met Métatexite
- Dhe Diatexite hétérogène
- Dho Diatexite homogène

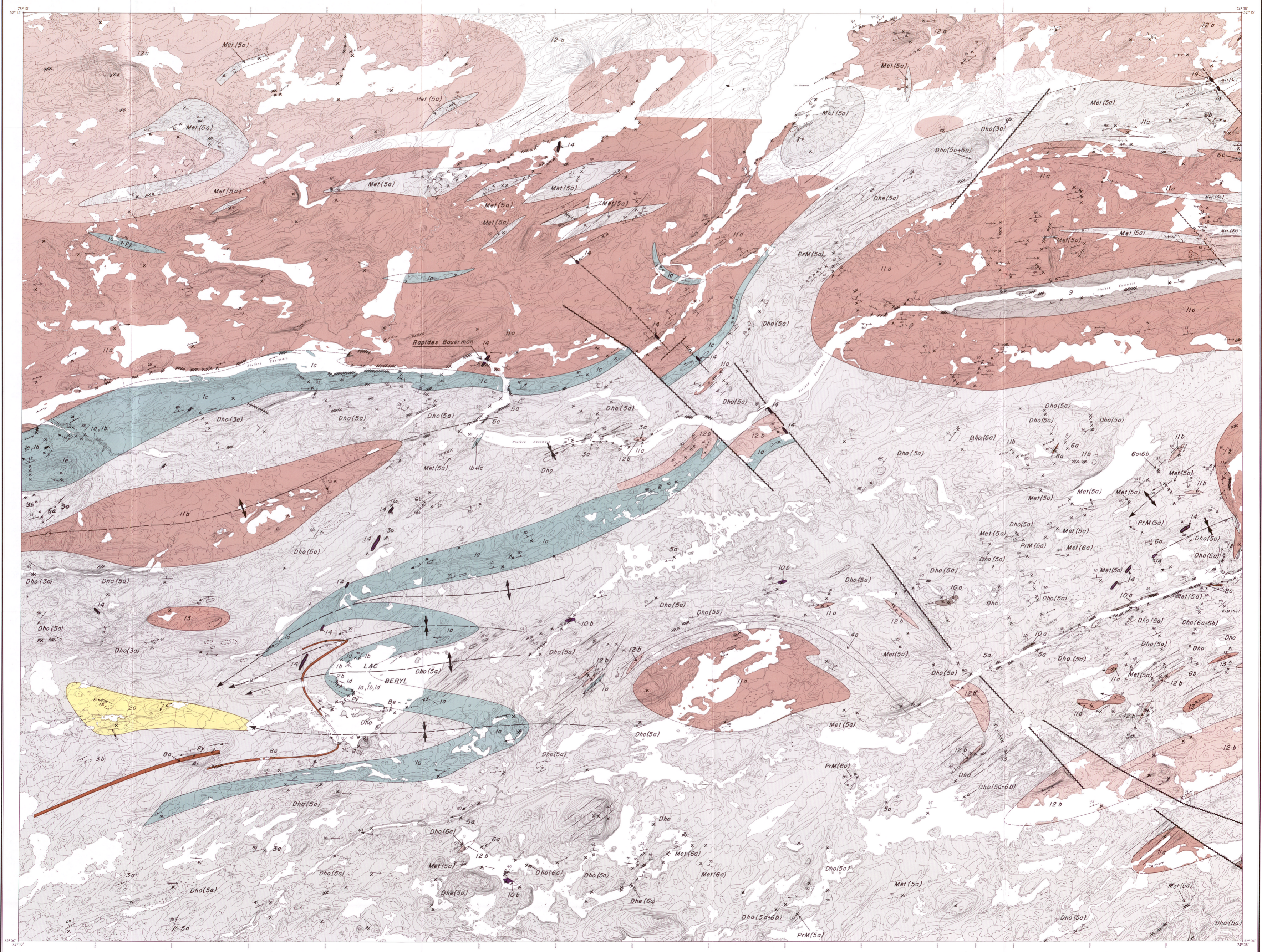
#### CLÉ POUR L'IDENTIFICATION DES PARAGNEISS

Dhe (5a): Diatexite hétérogène (Dhe) à trame de paragneiss à biotite (5a)  
 Met(7a): Métatexite (Met) à trame de paragneiss à orthopyroxène (7a), etc.



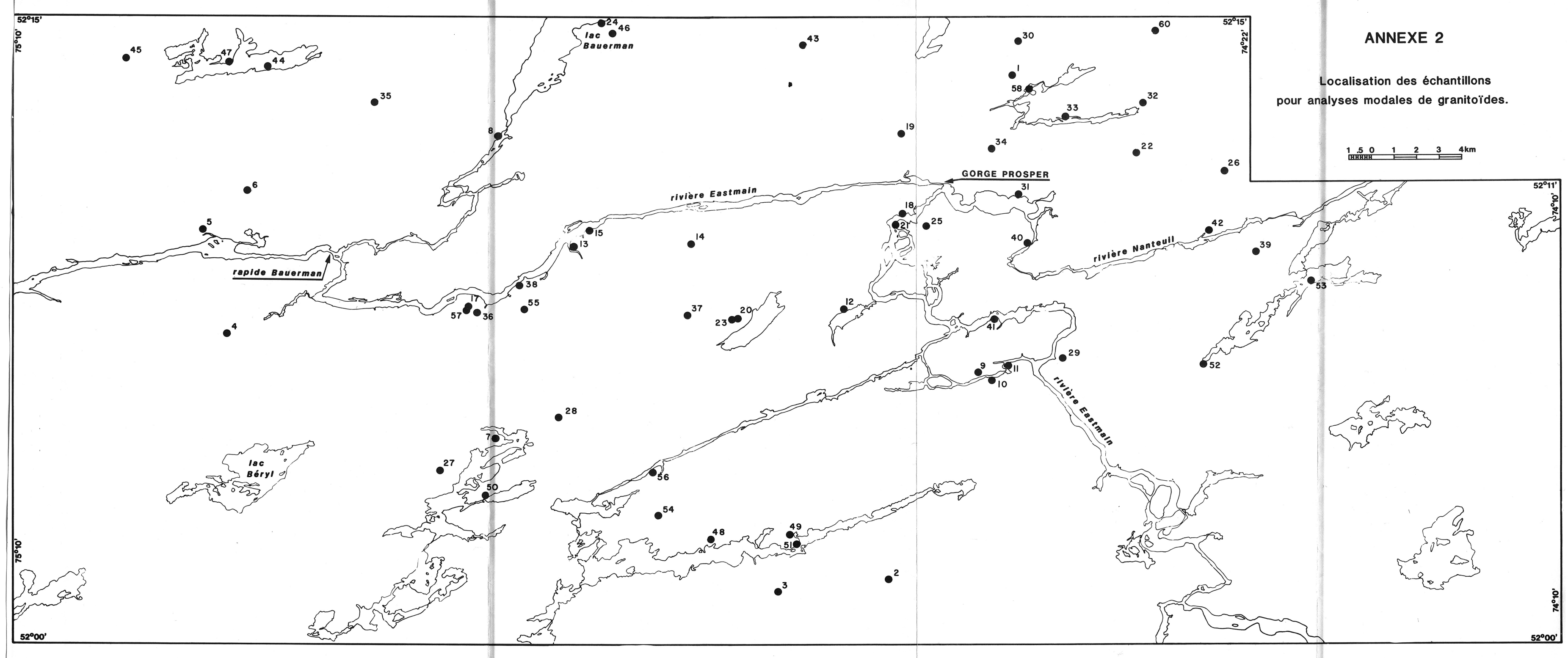
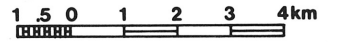
Le repère magnétique en 1972 est à 20°19' du nord géographique

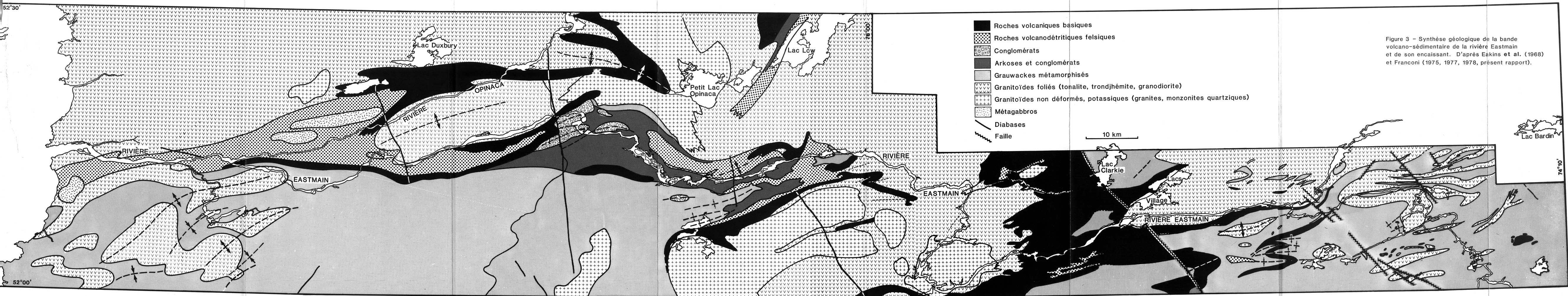




ANNEXE 2

Localisation des échantillons  
pour analyses modales de granitoïdes.





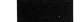





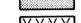
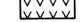
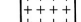

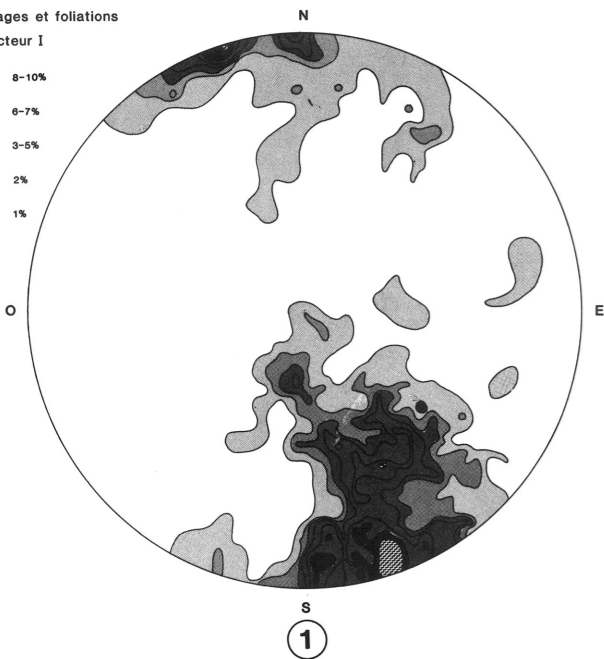
-  Roches volcaniques basiques
-  Roches volcanodétritiques felsiques
-  Conglomérats
-  Arkoses et conglomérats
-  Grauwackes métamorphisés
-  Granitoïdes foliés (tonalite, trondjémite, granodiorite)
-  Granitoïdes non déformés, potassiques (granites, monzonites quartziques)
-  Métagabbros
-  Diabases
-  Faille

Figure 3 - Synthèse géologique de la bande volcano-sédimentaire de la rivière Eastmain et de son encaissant. D'après Eakins et al. (1968) et Franconi (1975, 1977, 1978, présent rapport).

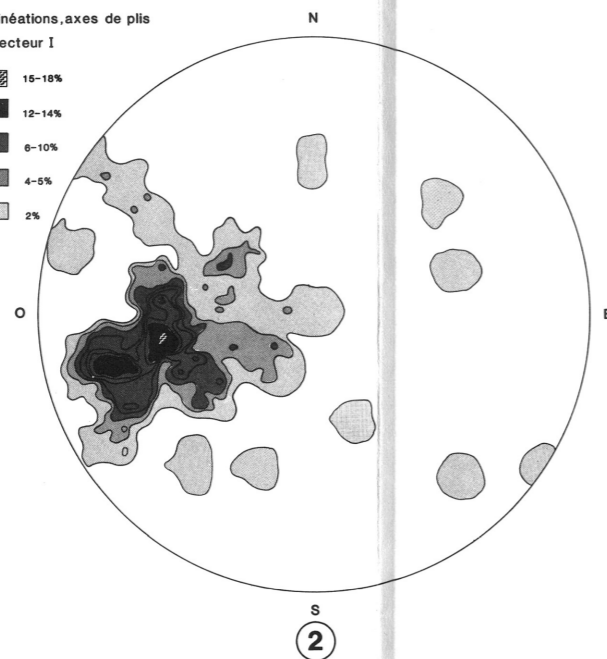
Lac Bardin

74°0'

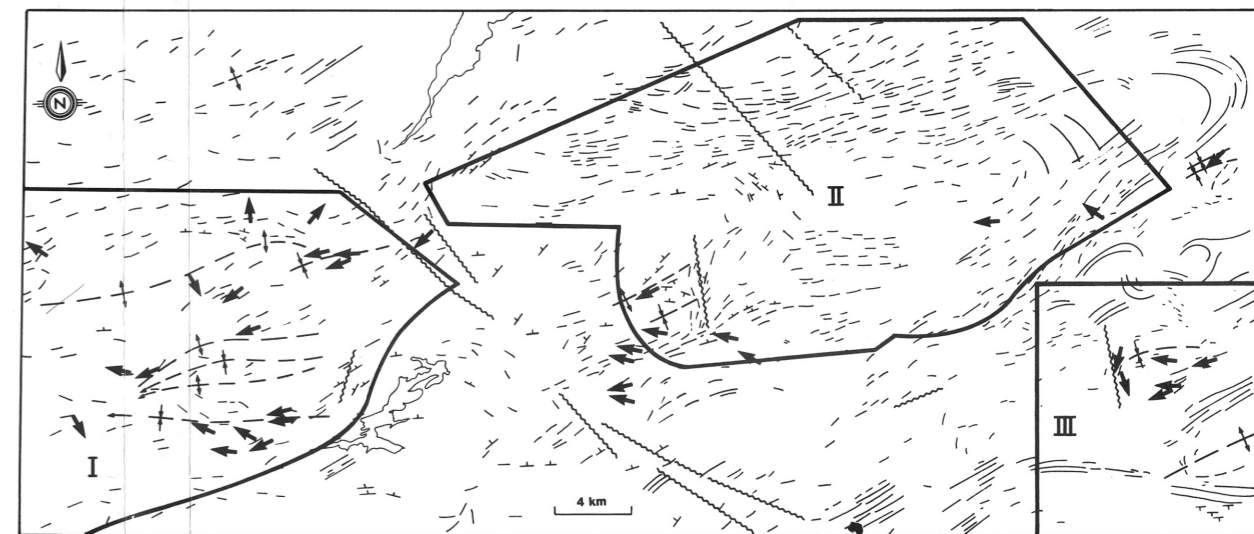
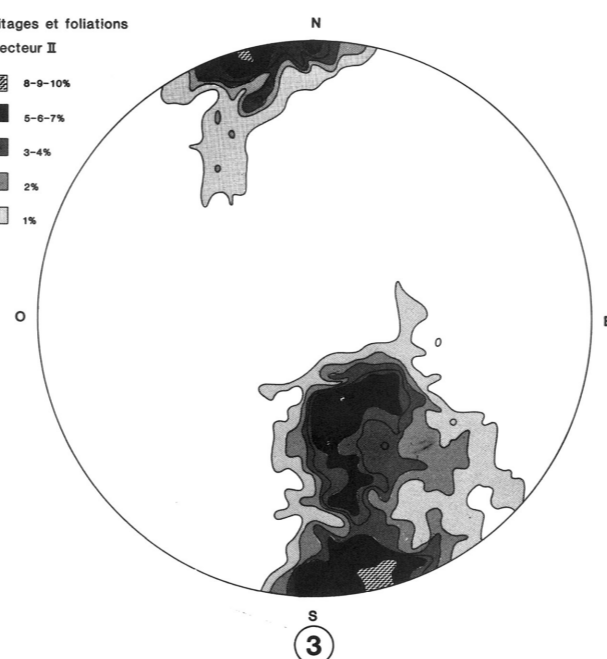
Litages et foliations  
Secteur I



Linéations, axes de plis  
Secteur I

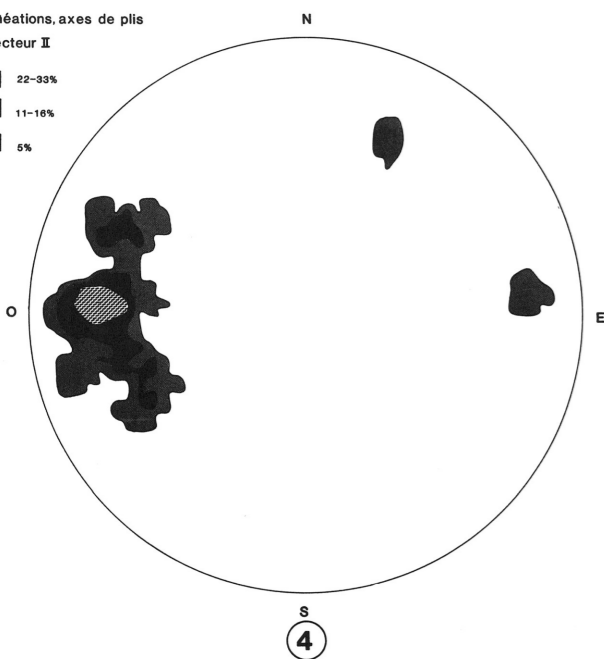


Litages et foliations  
Secteur II

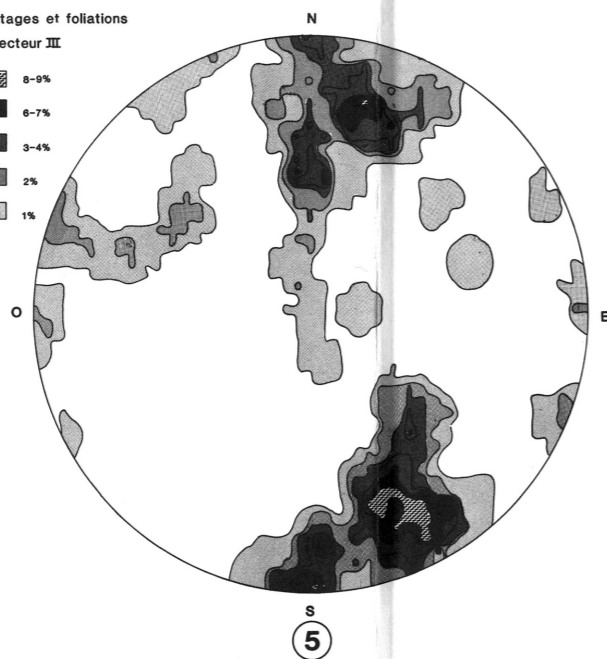


/ Litage  $S_0$     / Foliation  $S_1$     ↘ Linéation minérale, crénulation, axe de micropli  
 ↗ Trace et plongement des plans axiaux    / Faille

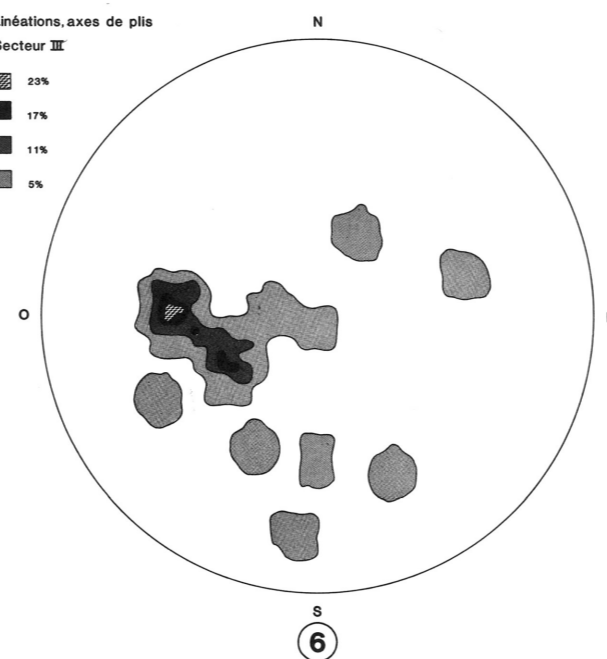
Linéations, axes de plis  
Secteur II



Litages et foliations  
Secteur III



Linéations, axes de plis  
Secteur III



Linéations, axes de plis  
Ensemble de la région

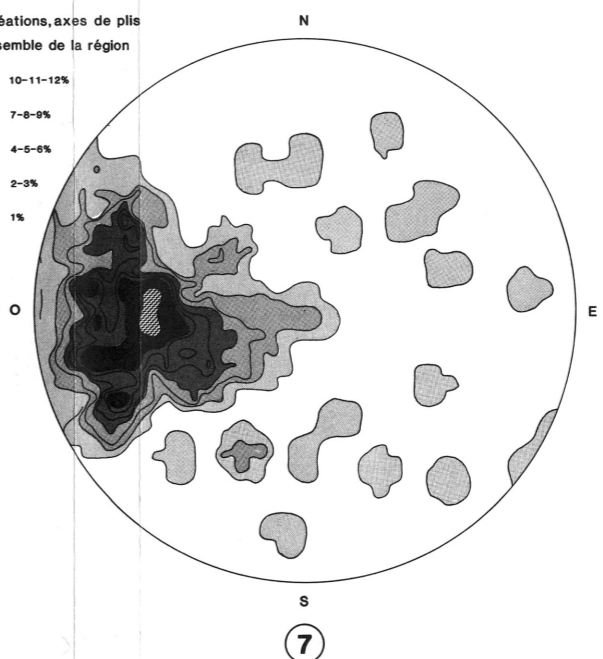


Figure 51

Éléments structuraux de la région.